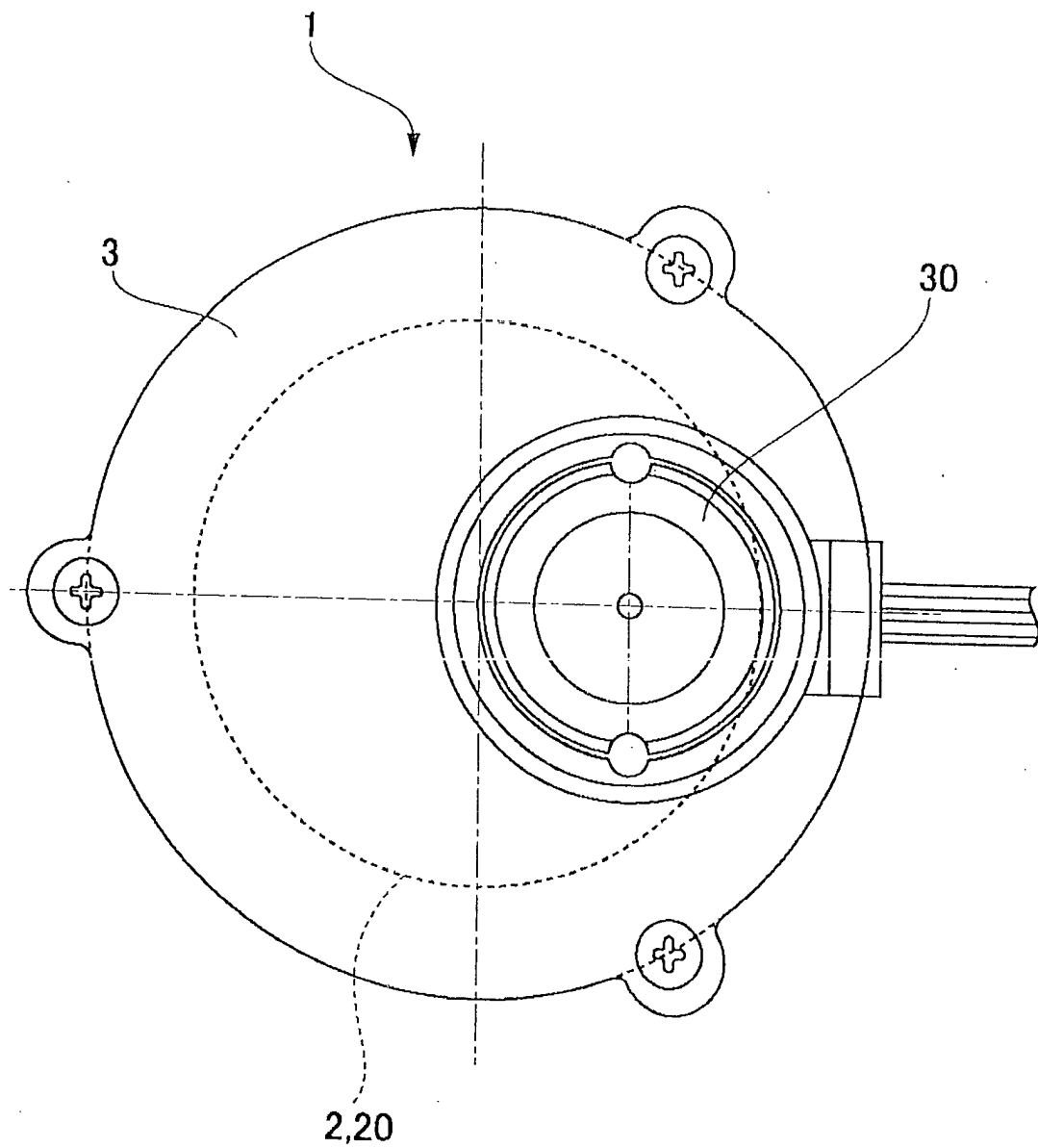
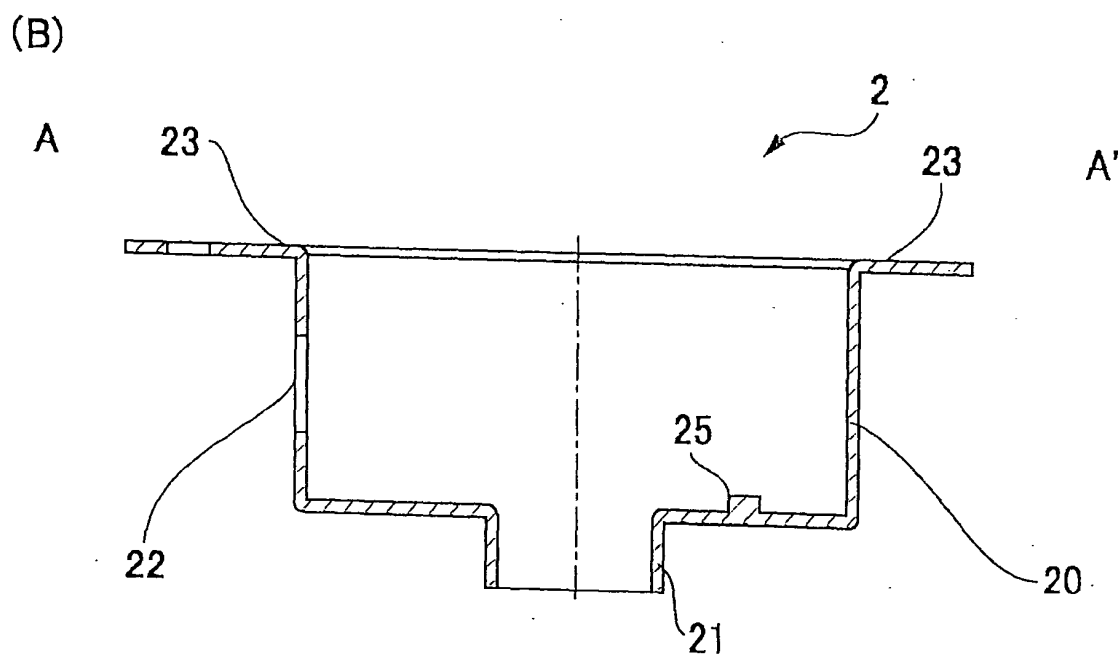
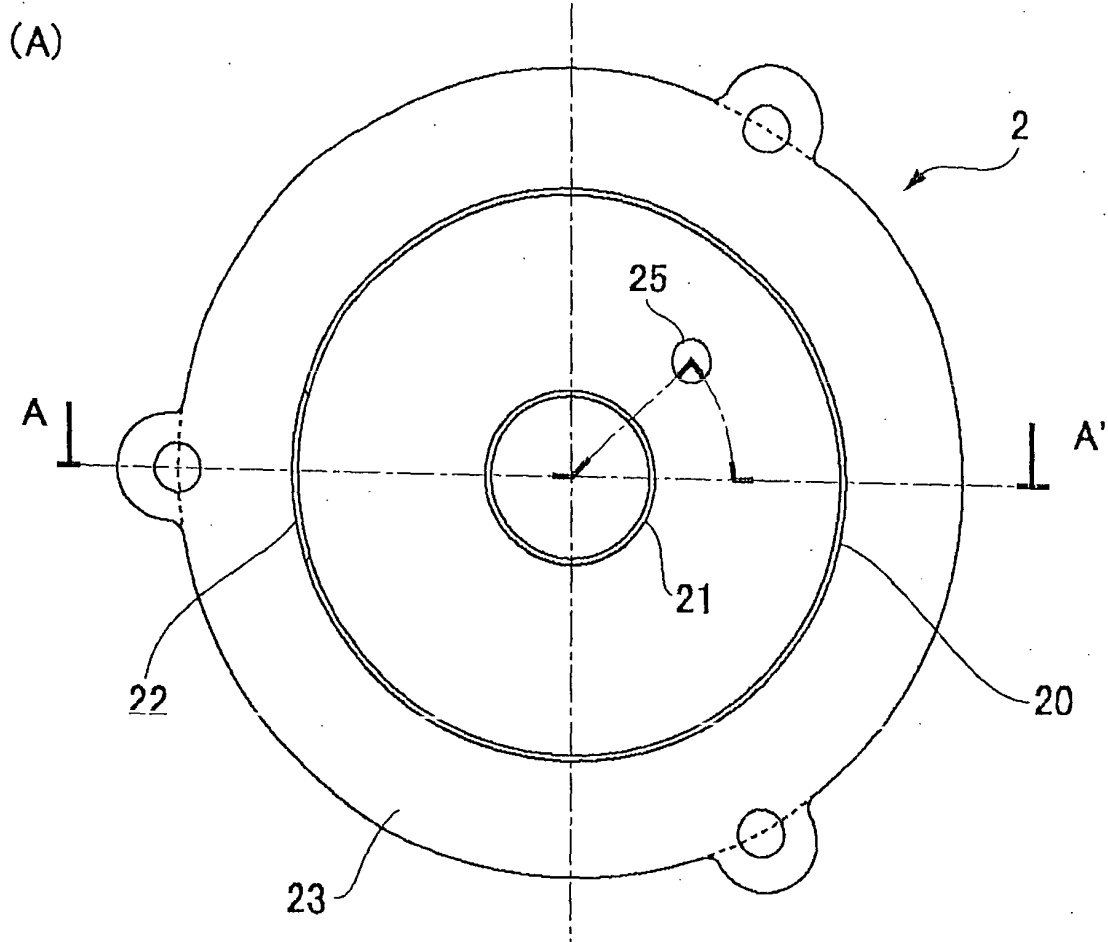


[FIG. 1]

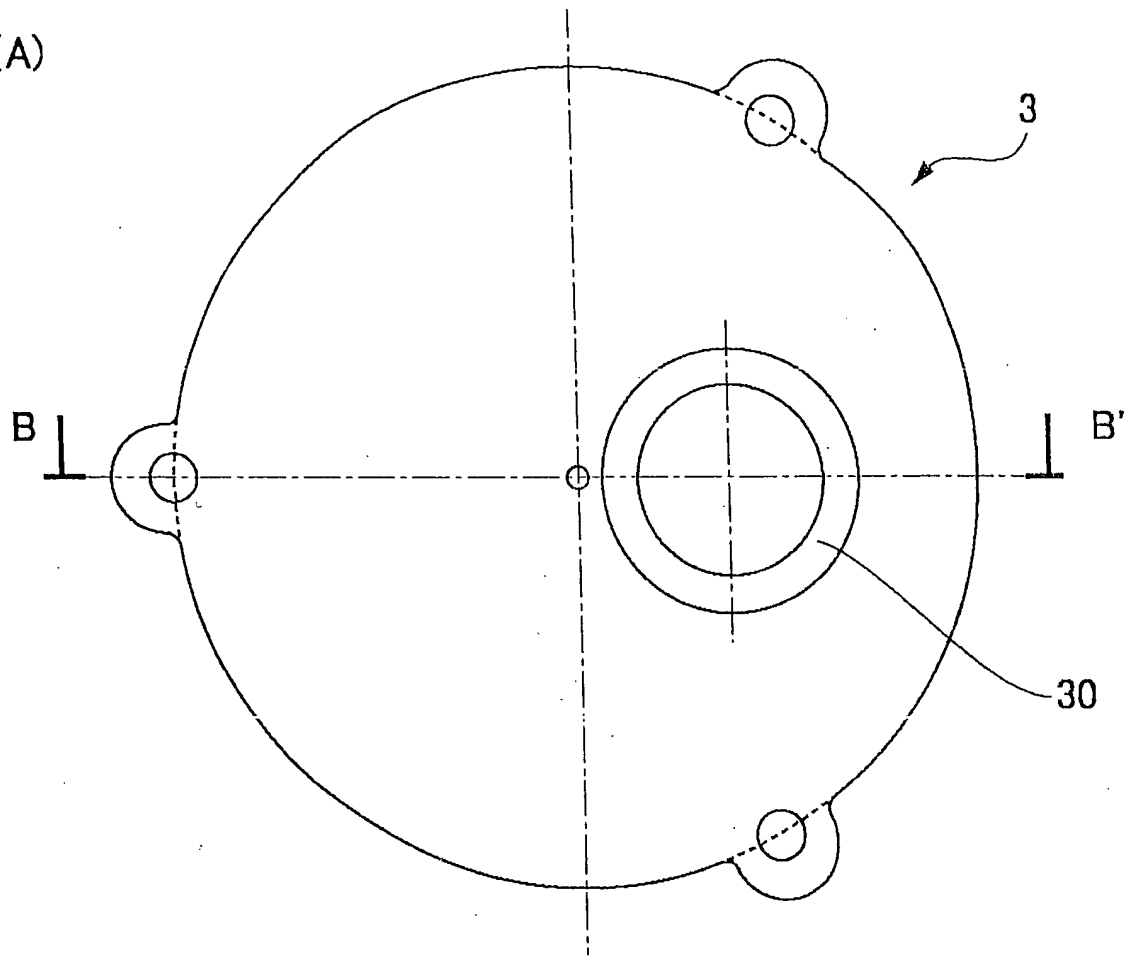


[FIG. 2]

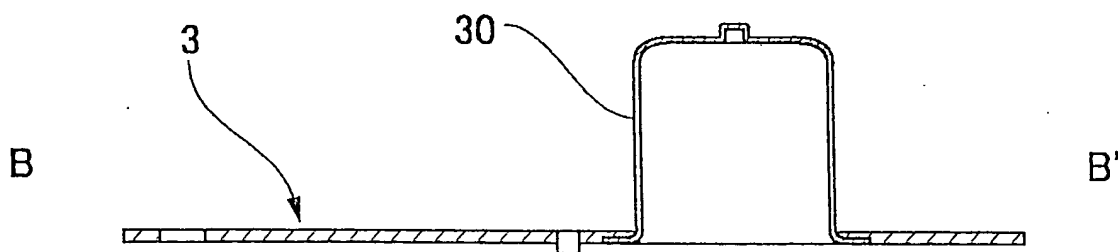


[FIG. 3]

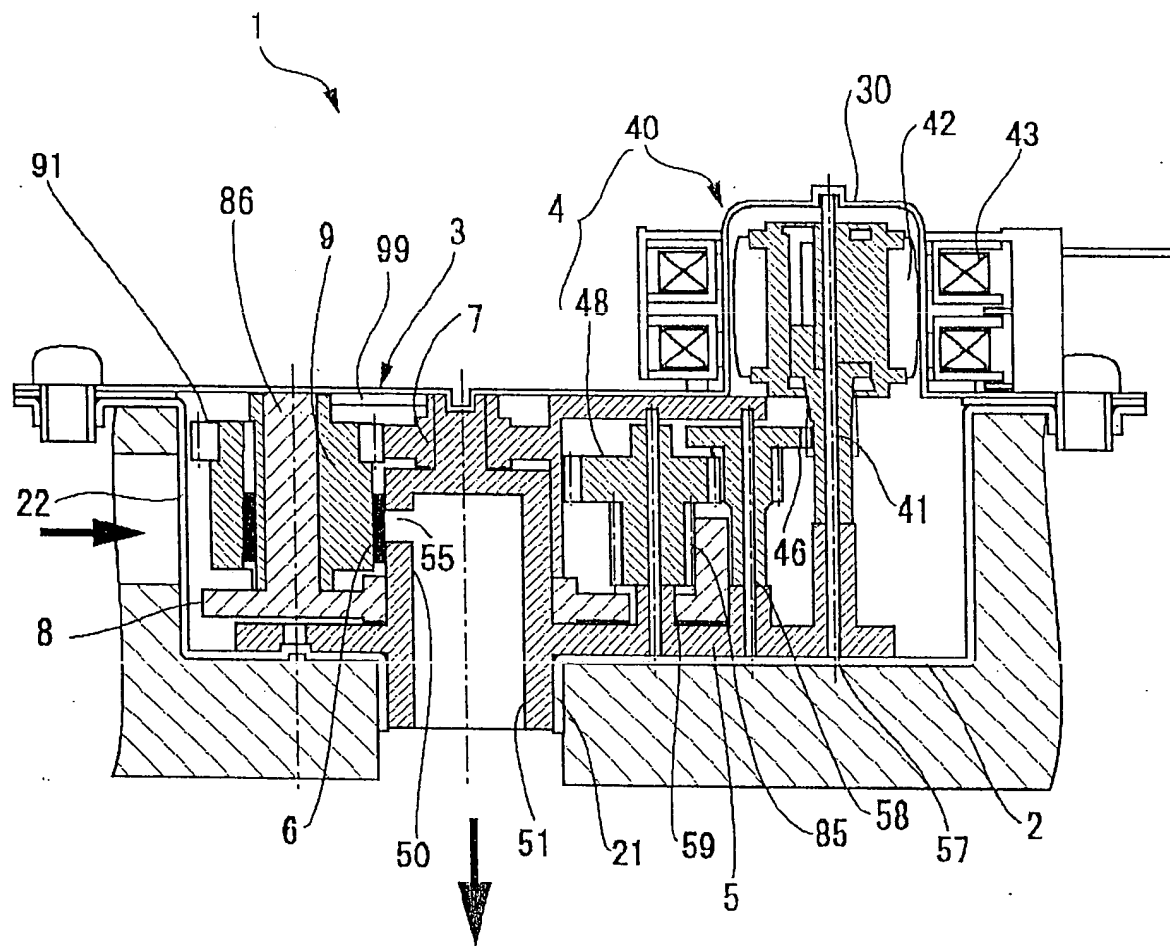
(A)



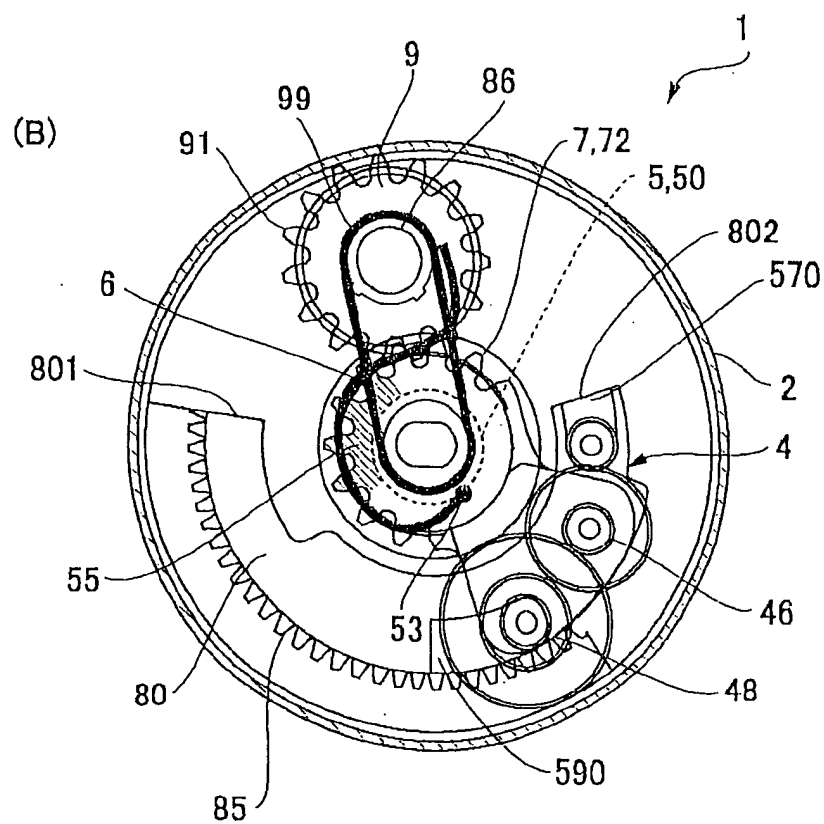
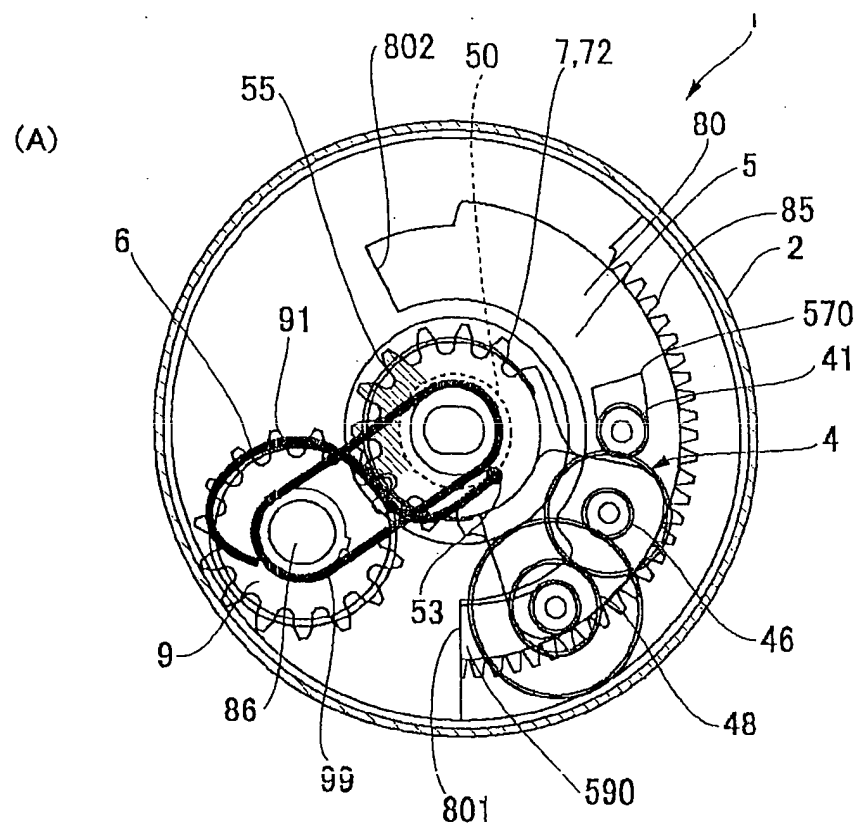
(B)



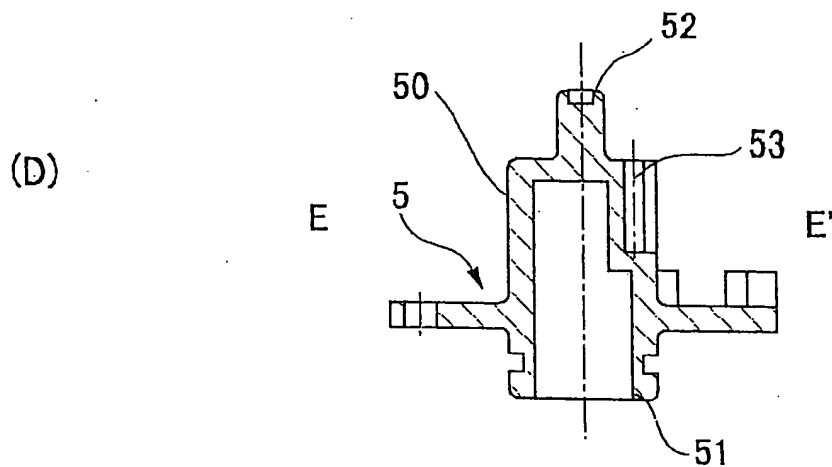
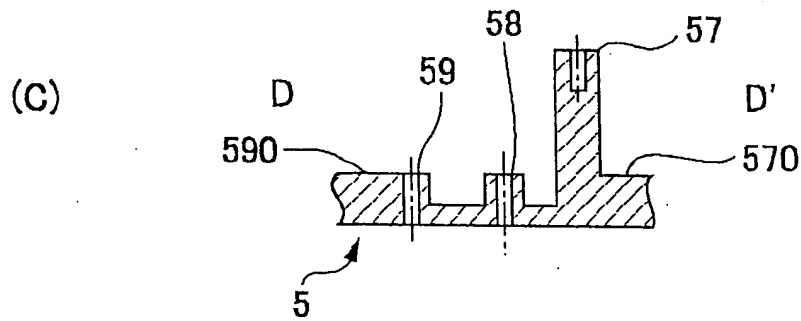
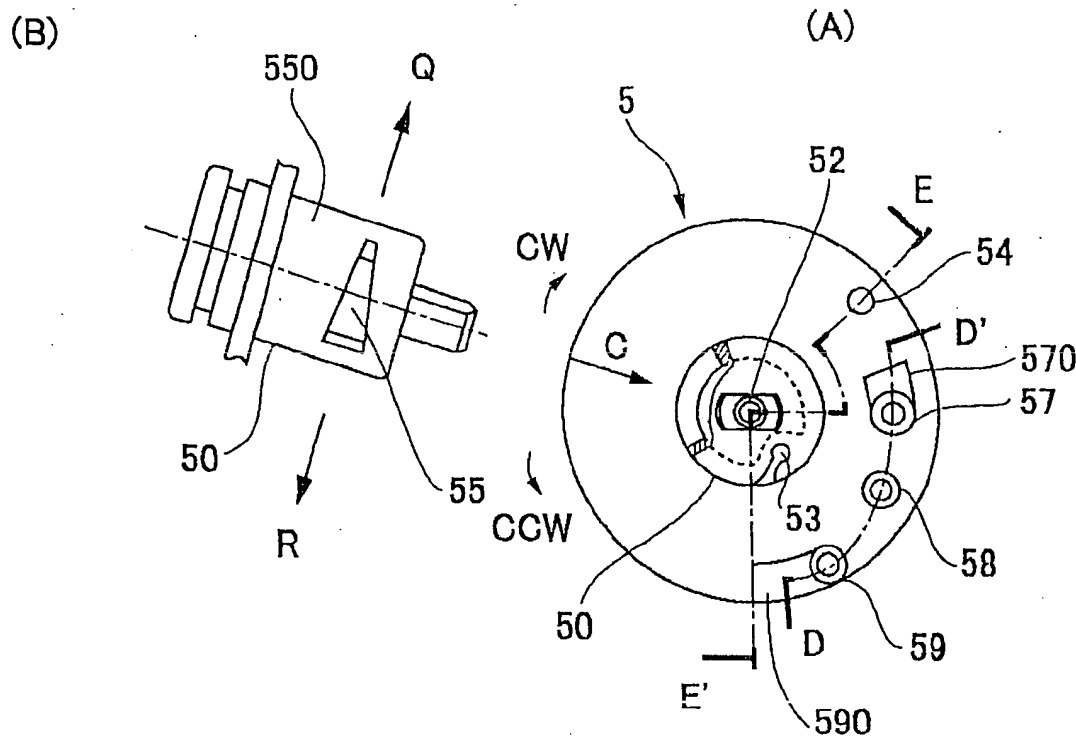
[FIG. 4]



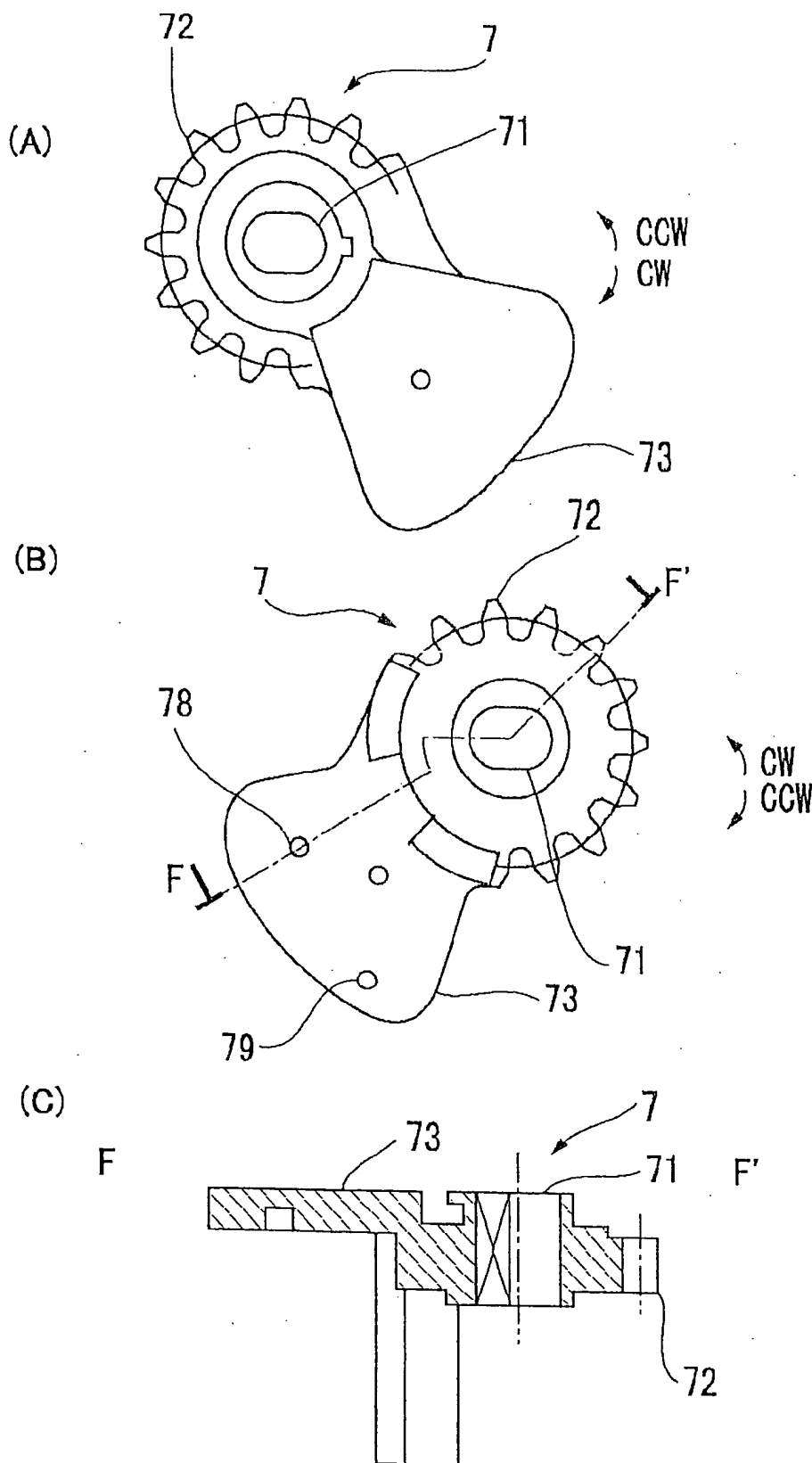
[FIG. 5]



[FIG. 6]

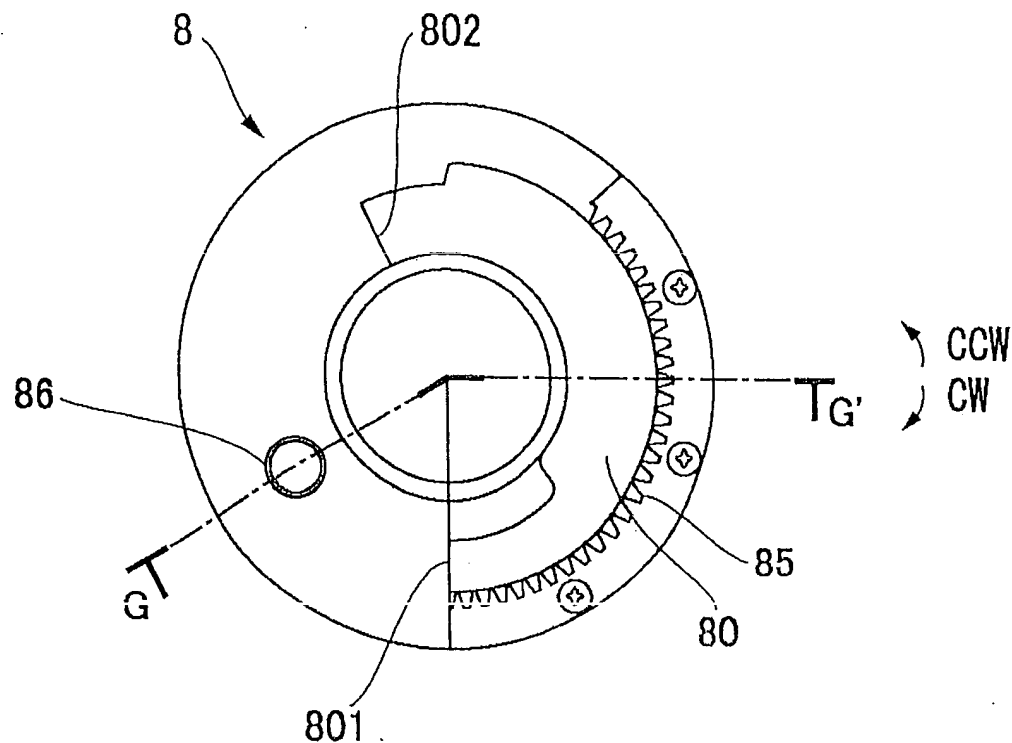


[FIG. 7]

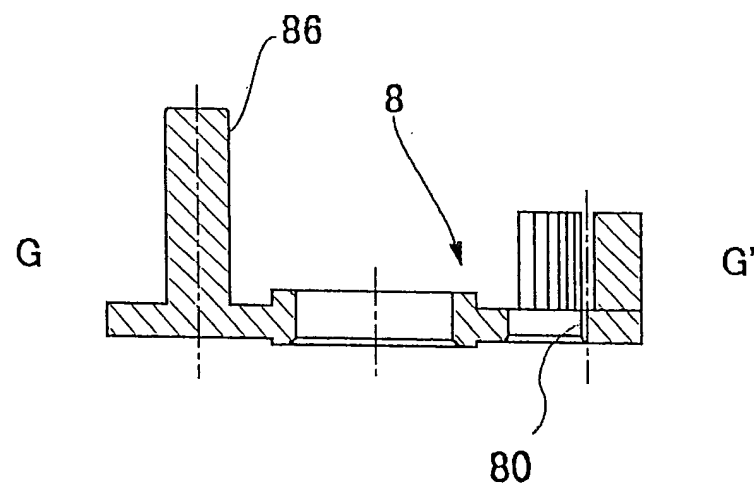


[FIG. 8]

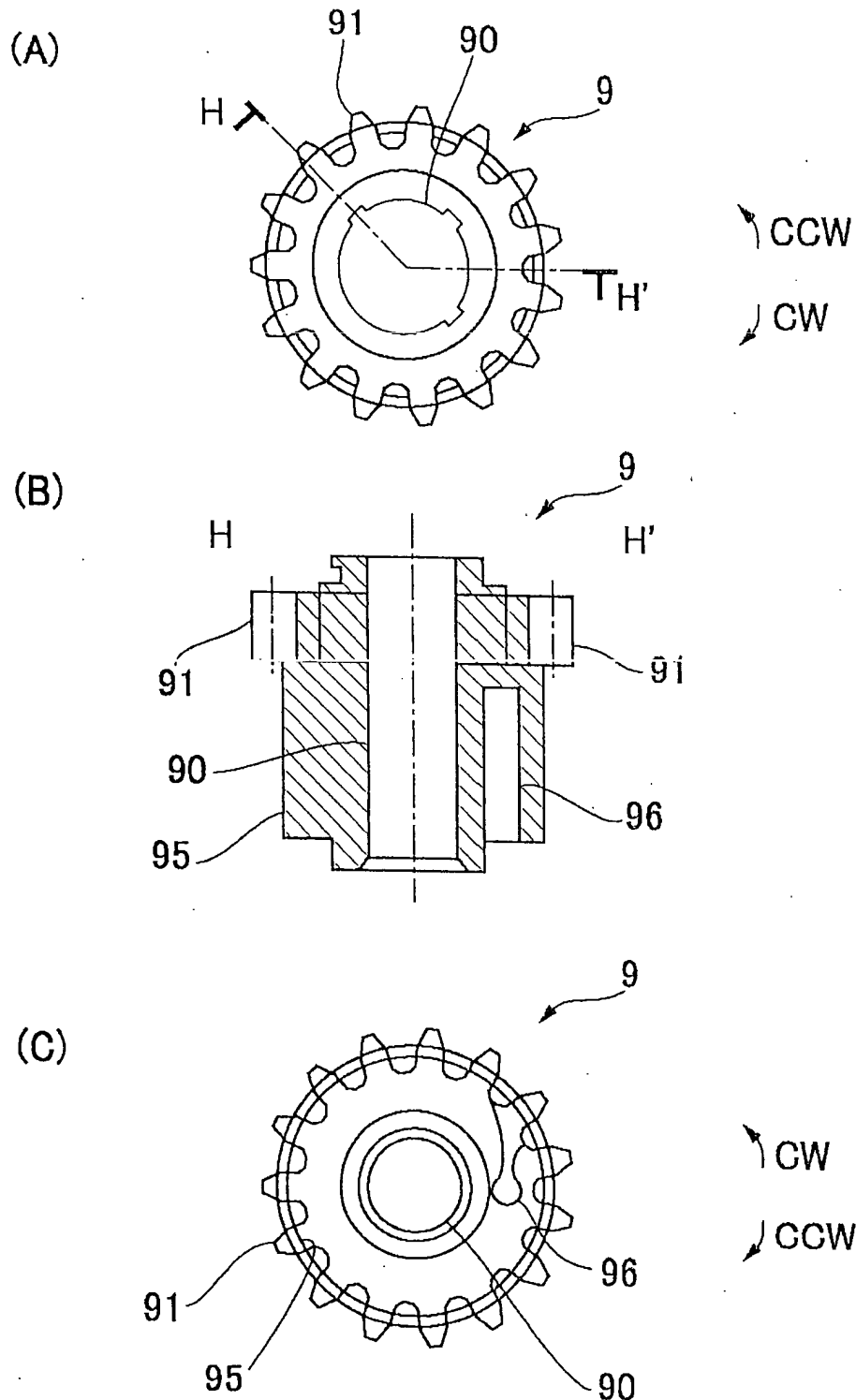
(A)



(B)

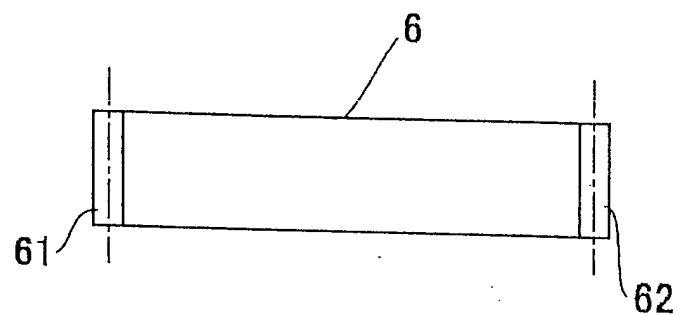


[FIG. 9]

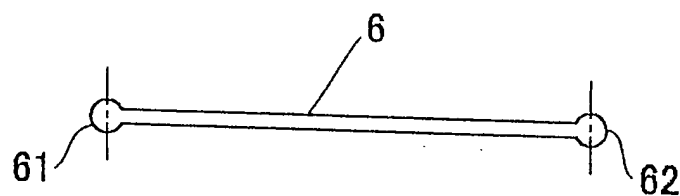


[FIG. 10]

(A)

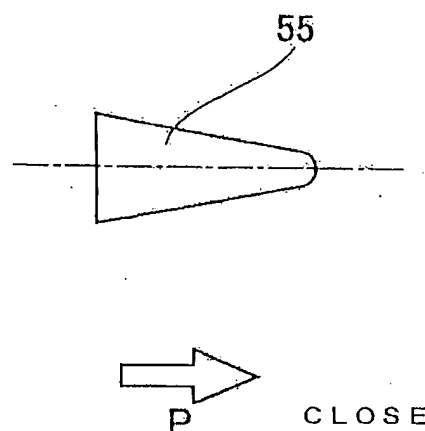


(B)

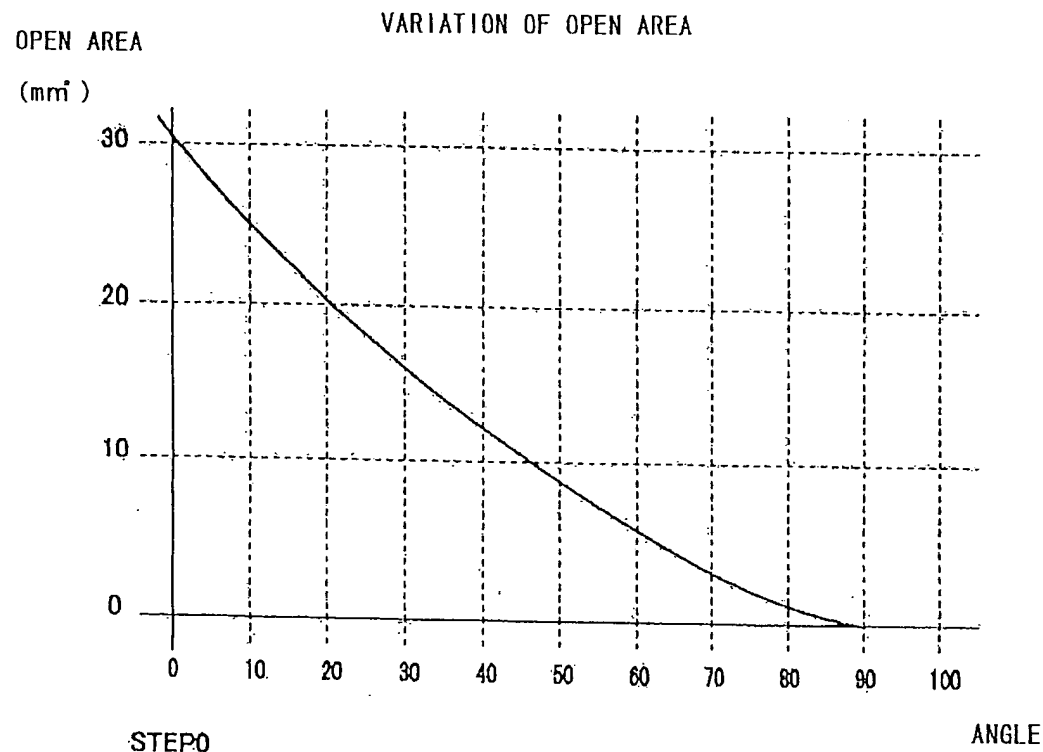


[FIG. 11]

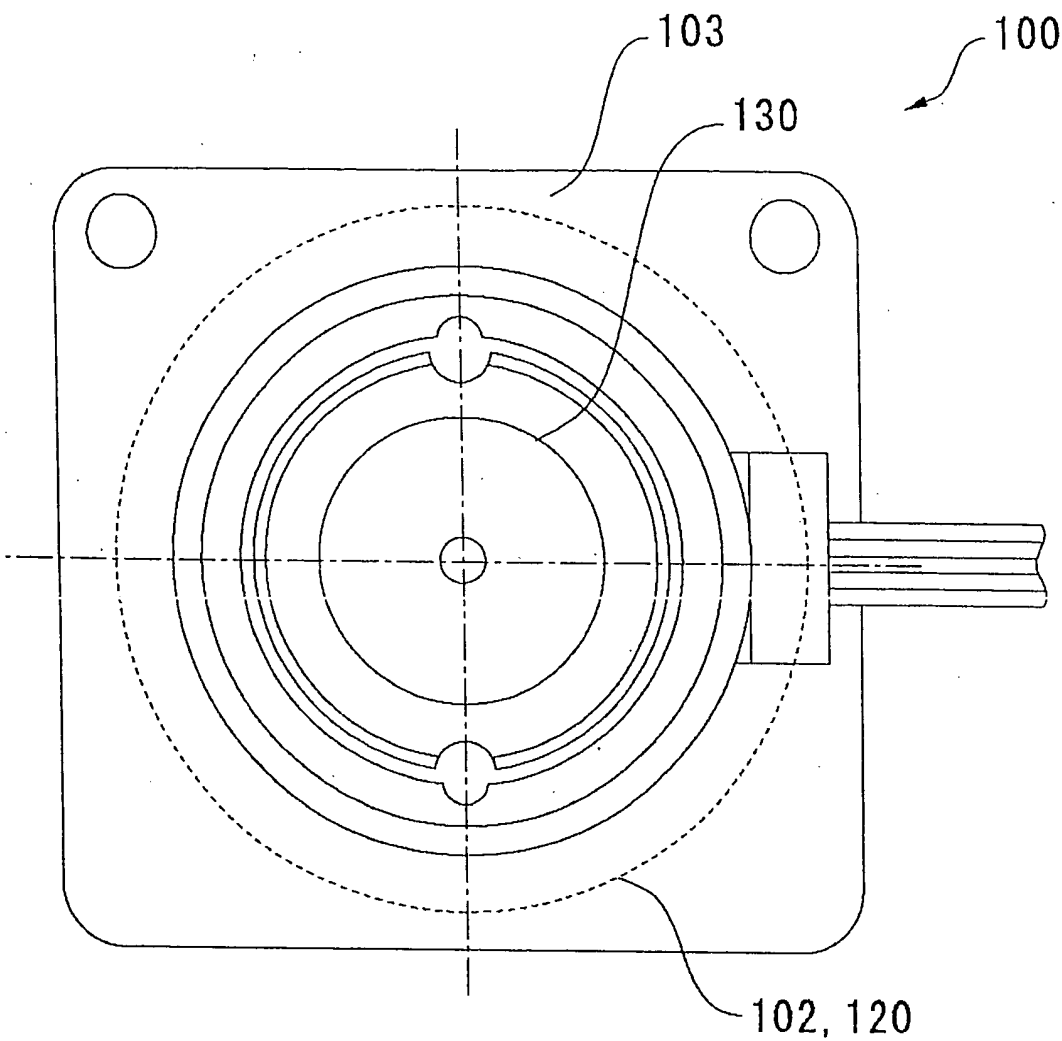
(A)



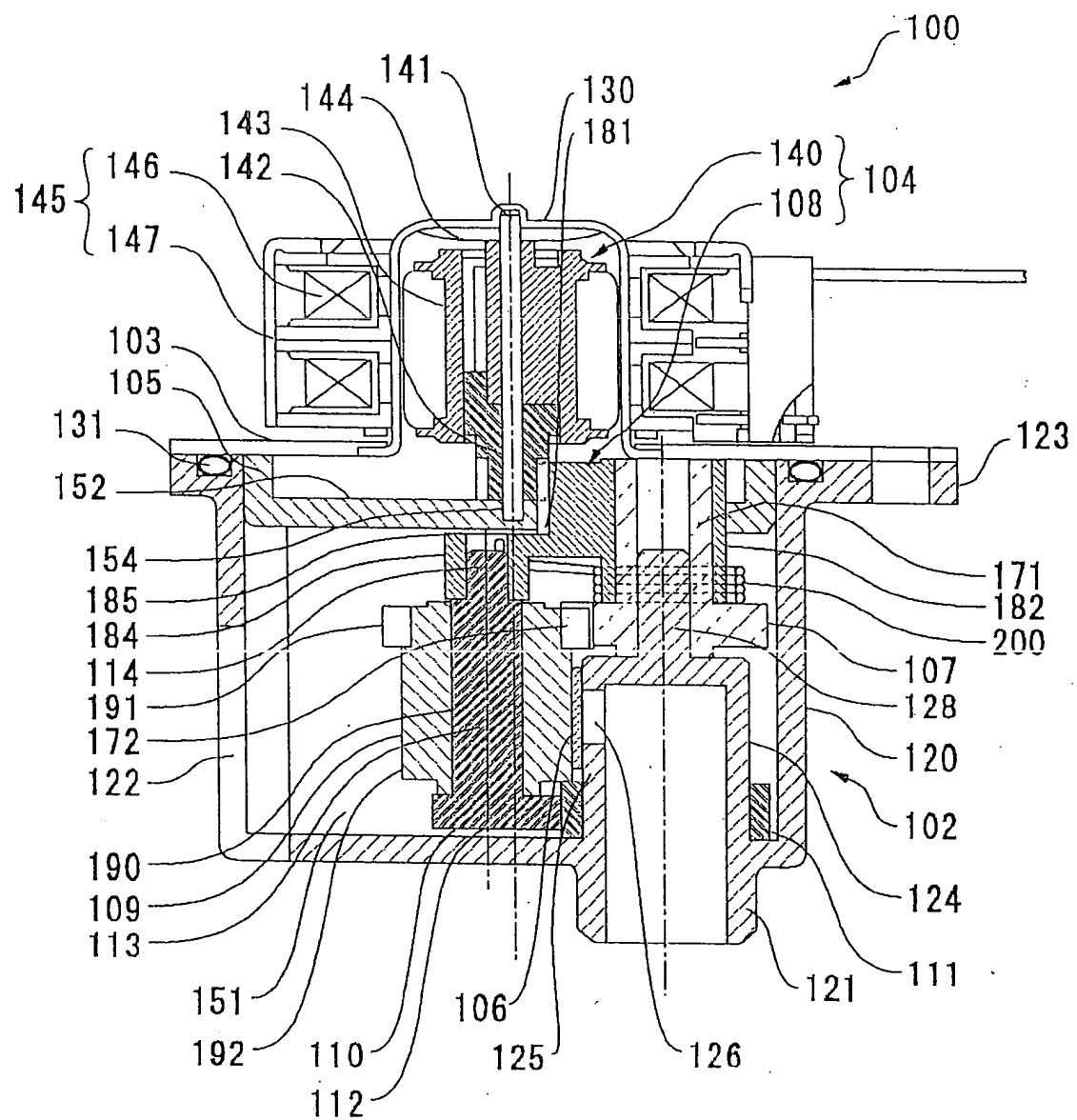
(B)



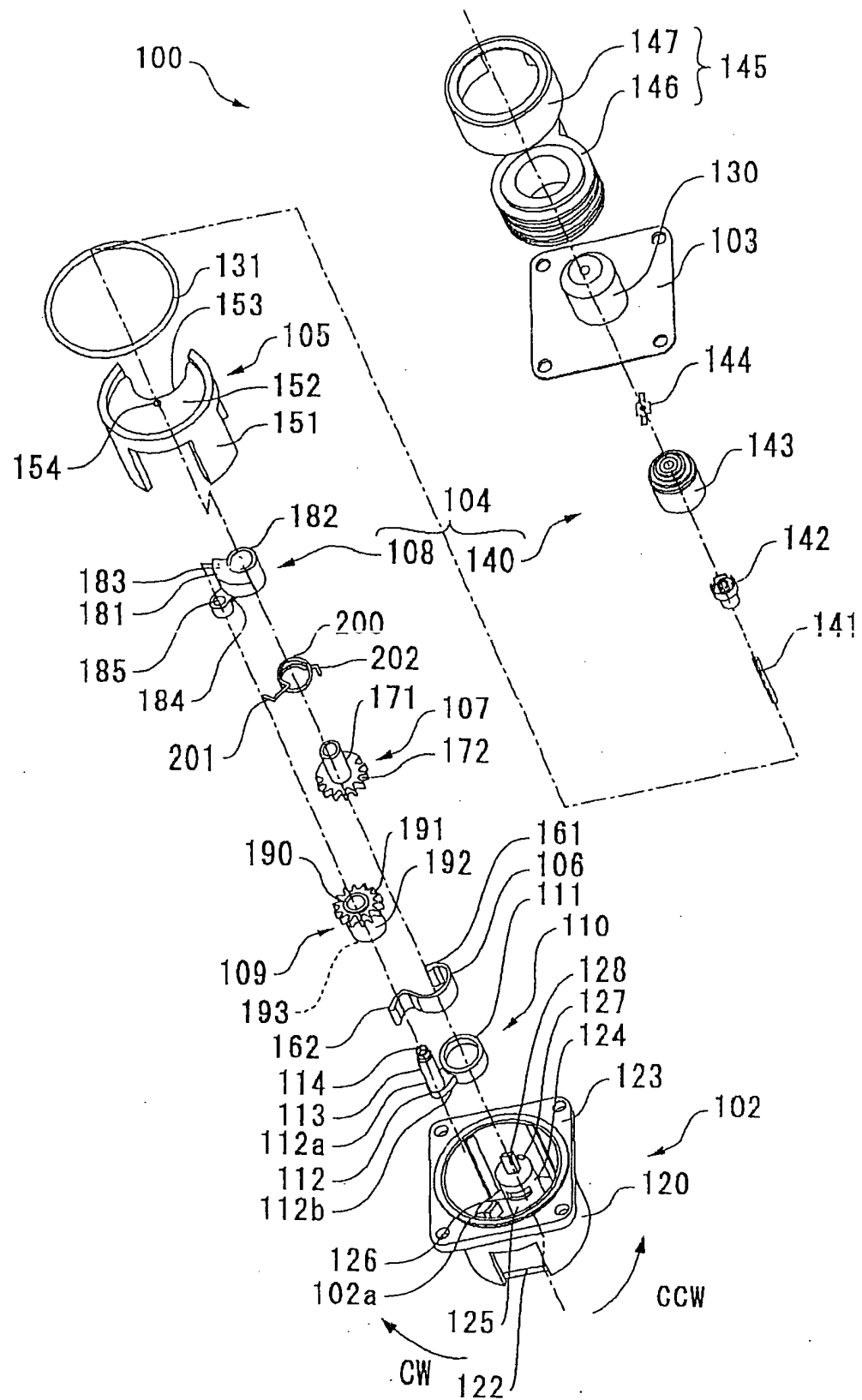
[FIG. 12]



[FIG. 13]

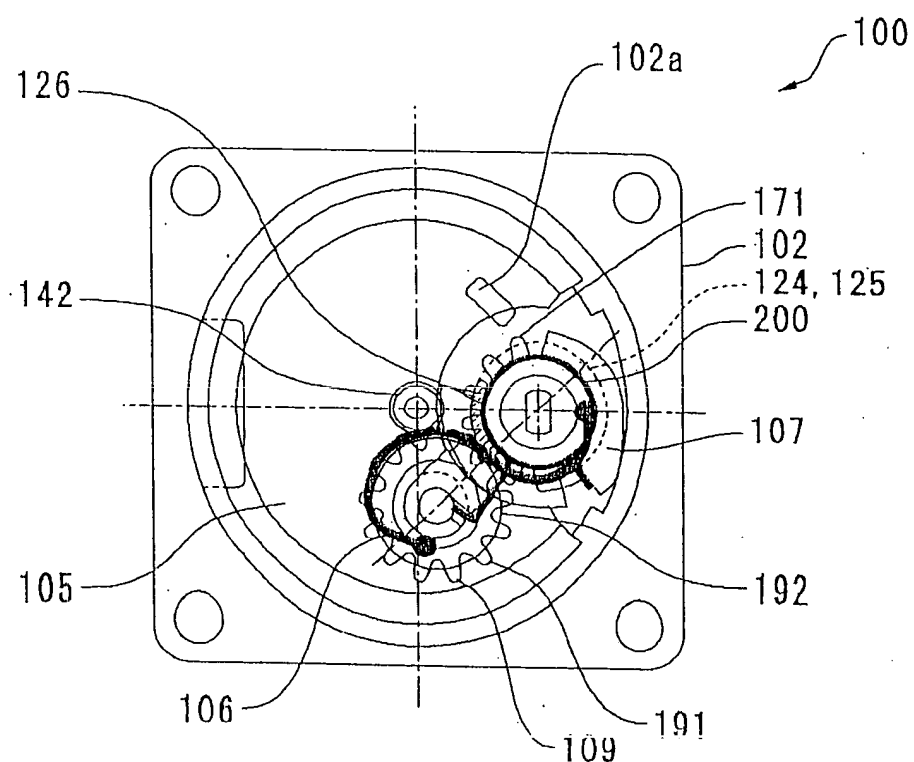


[FIG. 14]

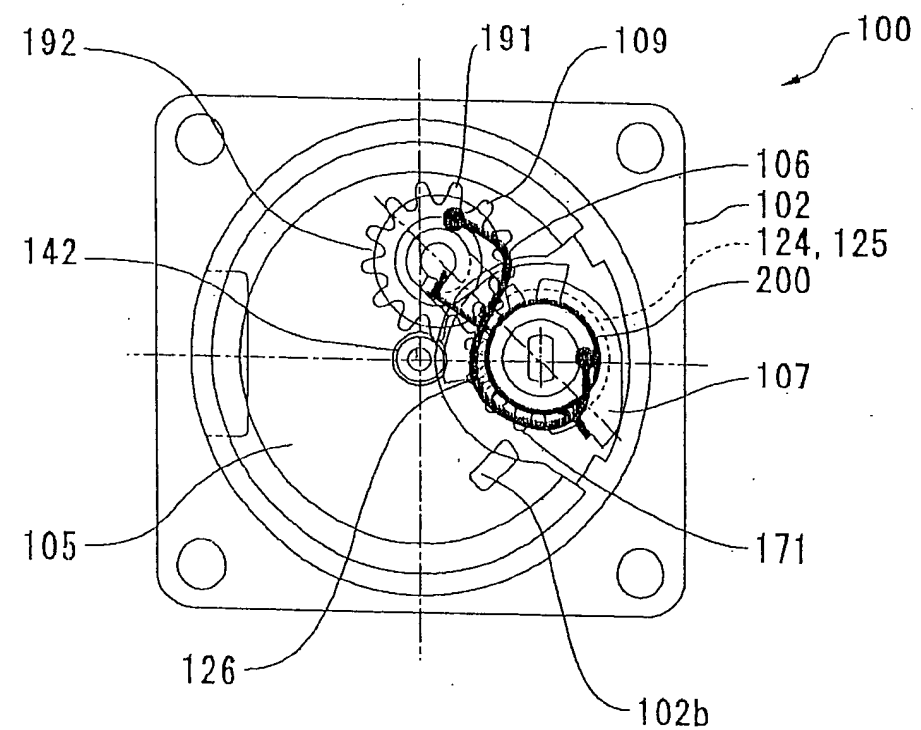


[FIG. 15]

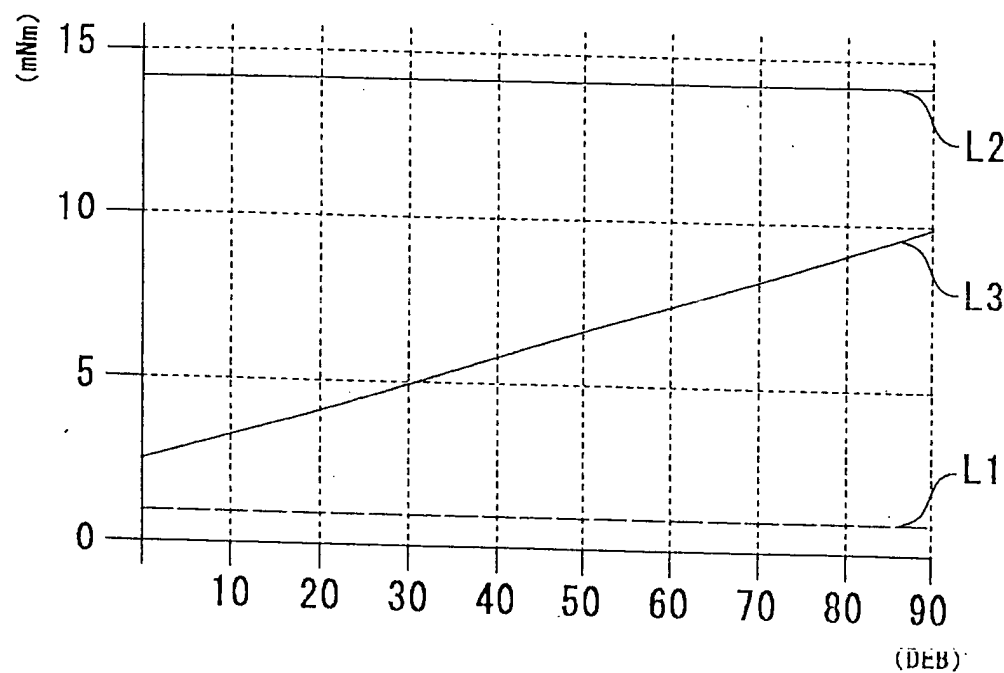
(A)



(B)

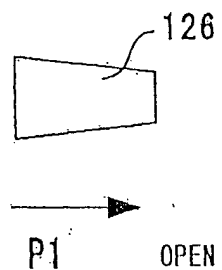


[FIG. 16]



[FIG. 17]

(A)



(B)

OPEN AREA
(mm²)

VARIATION OF OPEN AREA

